ОПРЕДЕЛЕНИЕ ДИНАМИЧЕСКИХ УСИЛИЙ В ДЕТАЛЯХ ПРИВОДНОГО МЕХАНИЗМА ВИБРАЦИОННОЙ СЕПАРИРУЮЩЕЙ МАШИНЫ С

ДЕЗАКСИАЛЬНЫМ КРИВОШИПНО-ШАТУННЫМ МЕХАНИЗМОМ

Уманская О.Л.

Курганский государственный университет

Курган, Россия

Для повышения несущей способности рамных конструкций вибрационных машин, работающих в условиях вынужденных колебаний, необходимо определение их динамических и прочностных характеристик. Рассмотрим характер возмущающих воздействий на рамную конструкцию со стороны приводного механизма на примере зерноочистительной машины с дезаксиальным кривошипно-шатунным механизмом, с двумя ситовыми корпусами.

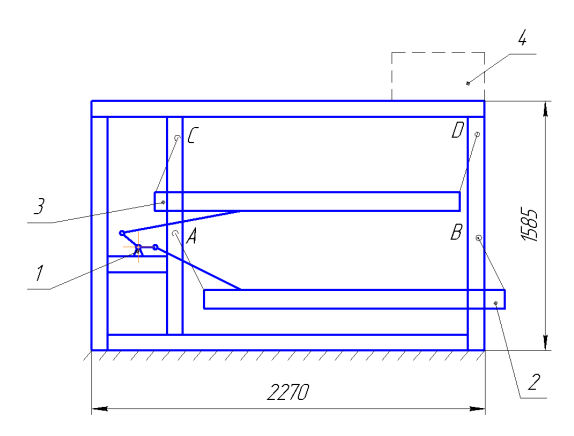


Рис. 1. Несущая конструкция зерноочистительной машины: 1- приводной механизм; 2, 3- ситовые корпуса; 4- аспирационная система

На нижний ситовой корпус в его крайнем правом положении действует следующая система сил (рис. 2, 3).

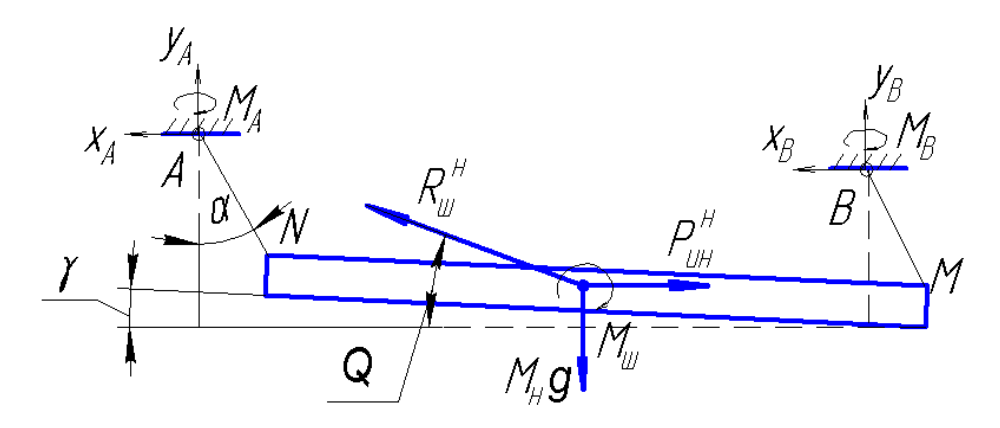


Рис. 2. Схема сил, действующих на нижний ситовой корпус с подвесками: $M_{\text{нq}}$ - сила тяжести; $P_{\text{ин}}^{\text{ H}}$ - сила инерции; $M_{\text{ш}}$, $R_{\text{ш}}^{\text{ H}}$ - реакции шатуна; X_{A} , Y_{A} , M_{A} , X_{B} , Y_{B} , M_{B} - реакции в точках заделки подвесок (т. А и т. В)

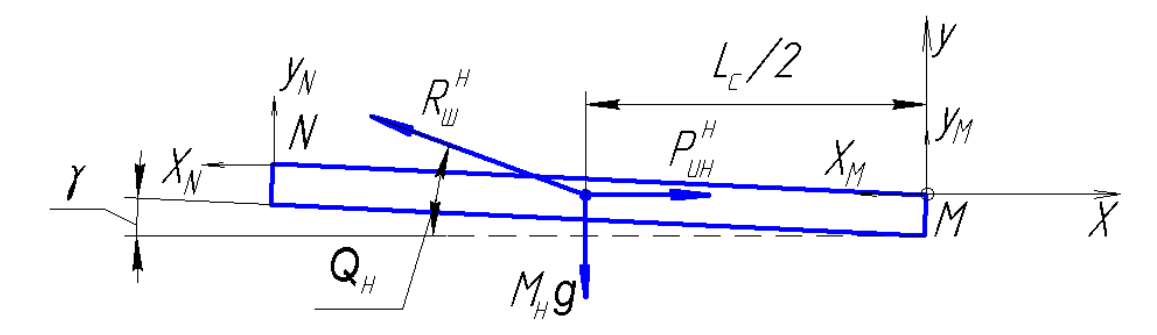


Рис. 3. Схема сил, действующих на нижний ситовой корпус

Для определения реакций в точках N и M составим уравнения равновесия для плоской системы сил.

$$\sum F_{kx} : -x_N - R_{uu}^H \cdot \cos q_H + P_{uH}^H - x_M = 0;$$

$$\sum F_{ky} : y_N + R_{uu}^H \cdot \sin q_H - M_H \cdot g + y_M = 0;$$

$$\sum M_M(\overline{F}_k) : x_N \cdot L_c \cdot \sin g - y_N \cdot L_c \cdot \cos g - R_{uu}^H \cdot \sin q_H \frac{L_c}{2} \cdot \cos g +$$

$$+ R_{uu}^H \cdot \cos q_H \frac{L_c}{2} \cdot \sin g + M_H \cdot g \cdot \frac{L_c}{2} \cdot \cos g - P_{uu}^H \cdot \frac{L_c}{2} \cdot \sin g = 0$$

$$(1)$$

Сила инерции $P_{u_H}^{\ \ H}$ определяется по формуле:

$$P_{uH}^{\ \ H}=M_{H}\cdot a,\qquad \qquad (2)$$

где M_H – масса нижнего ситового корпуса, кг; a – ускорение центра масс нижнего ситового корпуса, м/с².

Для определения ускорения используем следующую зависимость [1]:

$$a = \Re rw^{2} (\cos w \cdot t - \frac{e}{L_{uu}} \sin w \cdot t), \quad (3)$$

где r — радиус кривошипа, м; ω - угловая скорость кривошипа, рад/с; t — время, с; e — величина дезаксиального смещения, м; L_{uu} — длина шатуна, м.

Учитывая, что M_A =0, M_B =0 и реакция подвески направлена вдоль нее, получаем:

$$x_N = y_N \times tga, \tag{4}$$

$$x_M = y_M \times tga, \tag{5}$$

Угол a изменяется по закону:

$$tg \ a = (r/L_n) \times osw \cdot t \tag{6}$$

С учетом выражений (4)-(6) составляющие реакций в т. N и т. М будут определяться следующими выражениями:

$$x_N = y_N \times (r/L_n) \times cos \ w \cdot t, \tag{7}$$

$$x_M = y_M \times (r/L_n) \times cos \ W \cdot t. \tag{8}$$

Введем следующие обозначения: $R_{uu}^{\ \ \mu}=R_I;\ M_N=M_2;\ L_C=L_I;\ L_n=L_3.$

С учетом этого система уравнений (1) принимает следующий вид:

$$\begin{cases}
-x_N - R_1 \cdot \cos q_H + M_2 \cdot \mathbf{R} - x_M = 0; \\
y_N + R_1 \cdot \sin q_H - M_2 \cdot q + y_M = 0; \\
x_N \cdot L_1 \cdot \sin g - y_N \cdot L_1 \cdot \cos g - R_1 \cdot \sin q_H \frac{L_1}{2} \cdot \cos g + R_1 \cdot \cos q_H \frac{L_1}{2} \cdot \sin g + \\
+ M_2 \cdot q \cdot \frac{L_1}{2} \cdot \cos g - P_1 \cdot \frac{L_1}{2} \cdot \sin g = 0
\end{cases}$$
(9)

 $x_N = y_N \times (r/L_3) \times cos \ w \cdot t$

 $x_M = y_M \times (r/L_3) \times cos W \cdot t$

Решая данную систему уравнений относительно x_N , x_M , y_N , y_M и R_I , получаем:

$$R_{1} = \frac{M_{2} \cdot q \frac{r}{L_{3}} \cdot \cos w \cdot t - M_{2} r w^{2} \left(\cos w \cdot t - \frac{e}{L_{2}} \cdot \sin w \cdot t\right)}{\sin q_{H} \cdot \frac{r}{L_{3}} \cos w \cdot t - \cos q_{H}},$$
(10)

$$y_{N} = \frac{R_{1}\left(\sin q_{H} \cdot \cos g + \cos q_{H} \cdot \sin g\right) - M_{2}q\cos g + M_{2}r \cdot w^{2}\left(\cos w \cdot t - \frac{e}{L_{2}} \cdot \sin w \cdot t\right)\sin g}{2\left(\frac{r}{L_{3}} \cdot \cos w \cdot t \cdot \sin g - \cos g\right)}$$
(11)

$$y_M = y_N, (12)$$

$$x_N = y_N \times (r/L_3) \cos w \cdot t, \tag{13}$$

$$x_M = x_M . (14)$$

Решая данные уравнения относительно времени и угловой скорости кривошипа с подстановкой конкретных параметров (для зерноочистительной машины 3BC-20A), получаем следующие значения x_N , x_M , y_N , y_M и R_I :

$$x_N = -1,217 + 11,513 \cdot \cos\omega \cdot t + 1,605 \cdot 10^{-4} \cdot \sin\omega \cdot t - 1,217 \cdot \cos2\omega \cdot t + 0,16 \cdot \sin2\omega \cdot t \tag{15}$$

$$y_N = 813.5 - 171.966 \cdot \cos\omega \cdot t + 22.562 \cdot \sin\omega \cdot t - 0.171 \cdot \cos 2\omega \cdot t + 0.023 \cdot \sin 2\omega \cdot t$$
 (16)

$$R_{1} = \frac{2.5 \cdot 10^{3} \cdot \cos w \cdot t - 329 \sin w \cdot t}{1.013 - 2.017 \cdot 10^{-3} \cos w \cdot t}$$
(17)

Аналогичным образом находятся реакции в подвесках и усилия в шатуне для верхнего ситового корпуса.

В результате получаем следующую схему приложения возмущающих сил к раме (рис. 4).

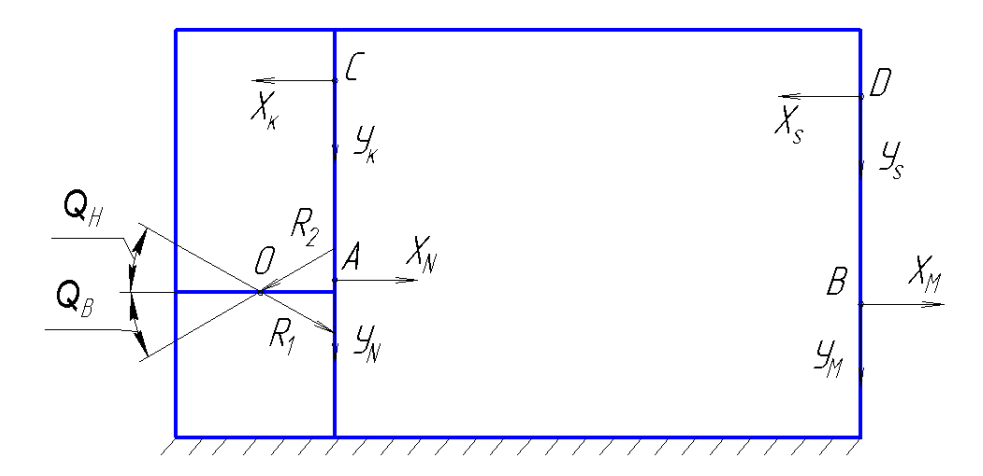


Рис.4. Схема приложения возмущающих сил

Составляющие реакций со стороны шатунов на раму в точке О можно представить как

$$x_0 = R_1 \cdot \cos q_H - R_2 \cdot \cos q_{\scriptscriptstyle \theta} \,, \tag{18}$$

$$y_0 = -R_1 \cdot \sin q_H - R_2 \cdot \sin q_g. \tag{19}$$

Определяем величины x_0 и y_0 в зависимости от времени и угловой скорости кривошипа.

$$x_0 = 0,228 + 229,451 \cdot \cos\omega \cdot t - 30,1 \cdot \sin\omega \cdot t + 0,228 \cdot \cos2\omega \cdot t - 0,03 \cdot \sin2\omega \cdot t$$
 (20)

$$y_0 = -0.652 - 656.049 \cdot \cos\omega \cdot t + 86.088 \cdot \sin\omega \cdot t - 0.652 \cdot \cos2\omega \cdot t + 0.086 \cdot \sin2\omega \cdot t$$
 (21)

При определении внутренних силовых факторов в несущей конструкции вибрационной машины полученные зависимости позволят представить их в виде функции времени, проанализировать характер наложения вибрационных характеристик, а также учесть их при расчете несущей способности.

СПИСОК ЛИТЕРАТУРЫ:

1. Борискин М.А. и др. Сепарирующие машины зерноперерабатывающих предприятий /М.А. Борискин, В.В. Гортинский, А.Б. Демский.- М.: Машиностроение, 1979.- 109 с.